

EL NIÑO OSCILACIÓN DEL SUR (ENOS) -31 de julio de 2016-

Condiciones actuales -Vigilancia de La Niña-

Las condiciones de temperatura de la región 3.4 del ENOS fueron neutrales durante el mes pasado, se caracterizaron por temperaturas de la superficie del mar cerca o por debajo del promedio a través del Océano Pacífico ecuatorial (Fig. 1).

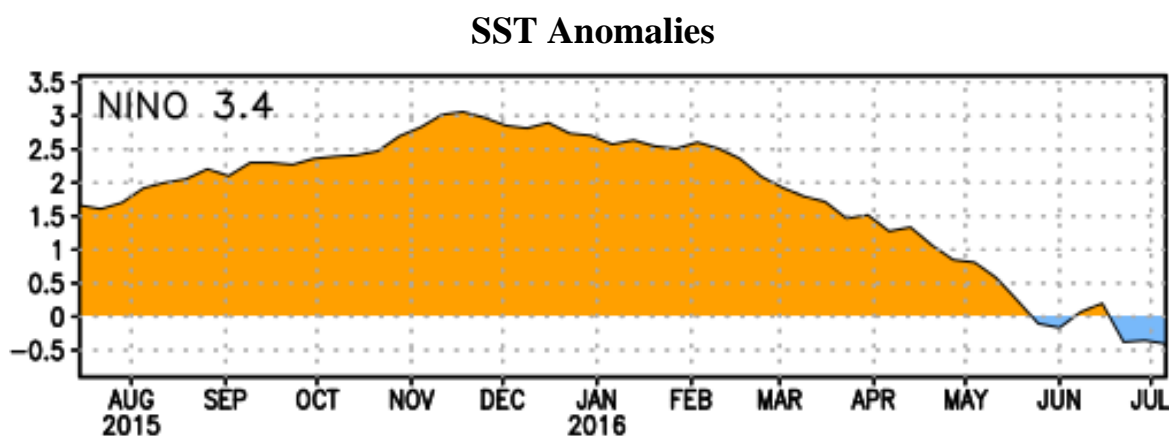


Figura 1. Anomalía de temperatura de la región 3.4 de ENOS. Fuente: (NOAA, 2016)

Condiciones esperadas

Según el Centro de predicción climática de la NOAA¹, existen condiciones que favorecen un desarrollo del fenómeno de La Niña durante agosto-octubre del año 2016 con una posibilidad de 55-60% de dicho fenómeno continúe hasta principios del año 2017.

El consenso entre los modelos dinámicos y estadísticos que se genera en el IRI² proyectan la llega de La Niña durante la temporada de agosto-octubre, y prediciendo un evento débil (el índice Niño-3.4 entre 0.5°C y -1.0°C), si se desarrolla el evento (fig.2).

¹ National Oceanic and Atmospheric Administration, NOAA.

² International Research Institute for Climate and Society, IRI.

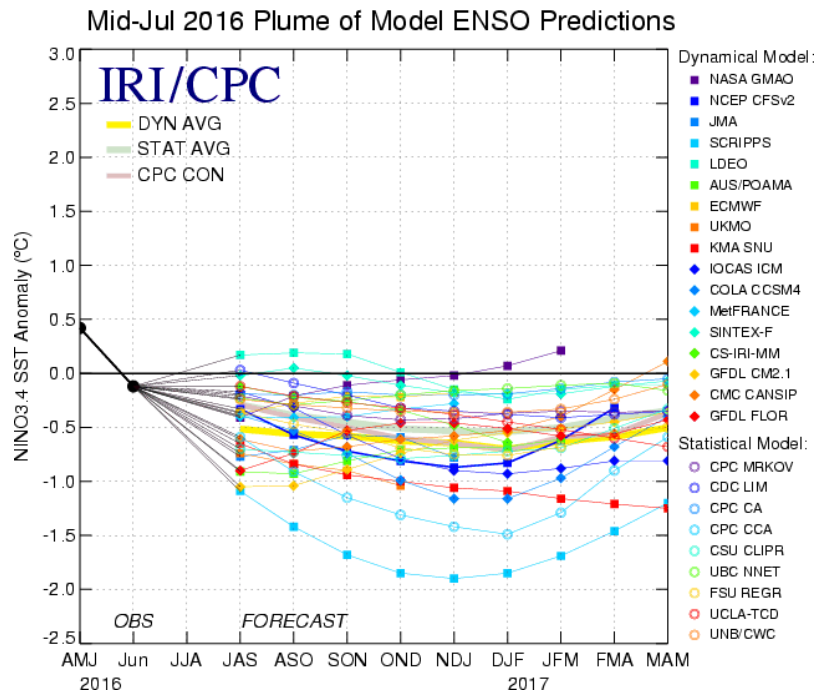


Figura 2. Pluma de modelos para el fenómeno ENOS 2016. Fuente: IRI, 2016 Referencia: JJA: junio-julio-agosto; JAS: julio-agosto-septiembre; ASO: agosto-septiembre-octubre; SON: septiembre-octubre-noviembre; OND: octubre-noviembre-diciembre; NDJ: noviembre-diciembre-enero; DJF: diciembre-enero febrero; JFM: enero-febrero-marzo; FMA: febrero-marzo-abril. Fuente: IRI, 2016

Cuadro 1. Distribución de probabilidades de ocurrencia de eventos de El Niño-Oscilación del Sur (ENOS), para el año 2016 en base a los modelos dinámicos y estadísticos del IRI/CPC.

Temporada	La Niña	Neutral	El Niño
JAS 2016	44%	55%	1%
ASO 2016	50%	47%	3%
SON 2016	53%	42%	5%
OND 2016	55%	39%	6%
NDJ 2016	55%	37%	8%
DJF 2016	58%	36%	6%
JFM 2016	54%	41%	5%
FMA 2017	51%	46%	3%
MAM 2017	43%	55%	2%

Fuente: IRI, 2016. Referencia: Referencia: JJA: junio-julio-agosto; JAS: julio-agosto-septiembre; ASO: agosto-septiembre-octubre; SON: septiembre-octubre-noviembre; OND: octubre-noviembre-diciembre; NDJ: noviembre-diciembre-enero; DJF: diciembre-enero febrero; JFM: enero-febrero-marzo; FMA: febrero-marzo-abril.

A partir de la segunda quincena del mes de agosto las lluvias se pueden incrementar para alcanzar su segundo máximo en el mes de septiembre. La lluvia de ese mes se asocia al paso constante de ondas del este, activación y acercamiento en latitud de la Zona de Convergencia Intertropical.

Se espera la influencia directa o indirecta de por lo menos dos (2) tormentas tropicales. Para el mes de octubre se espera que la lluvia persista y que pueda presentarse el acercamiento de algún empuje frío generado por el inicio de la temporada fría de Guatemala.

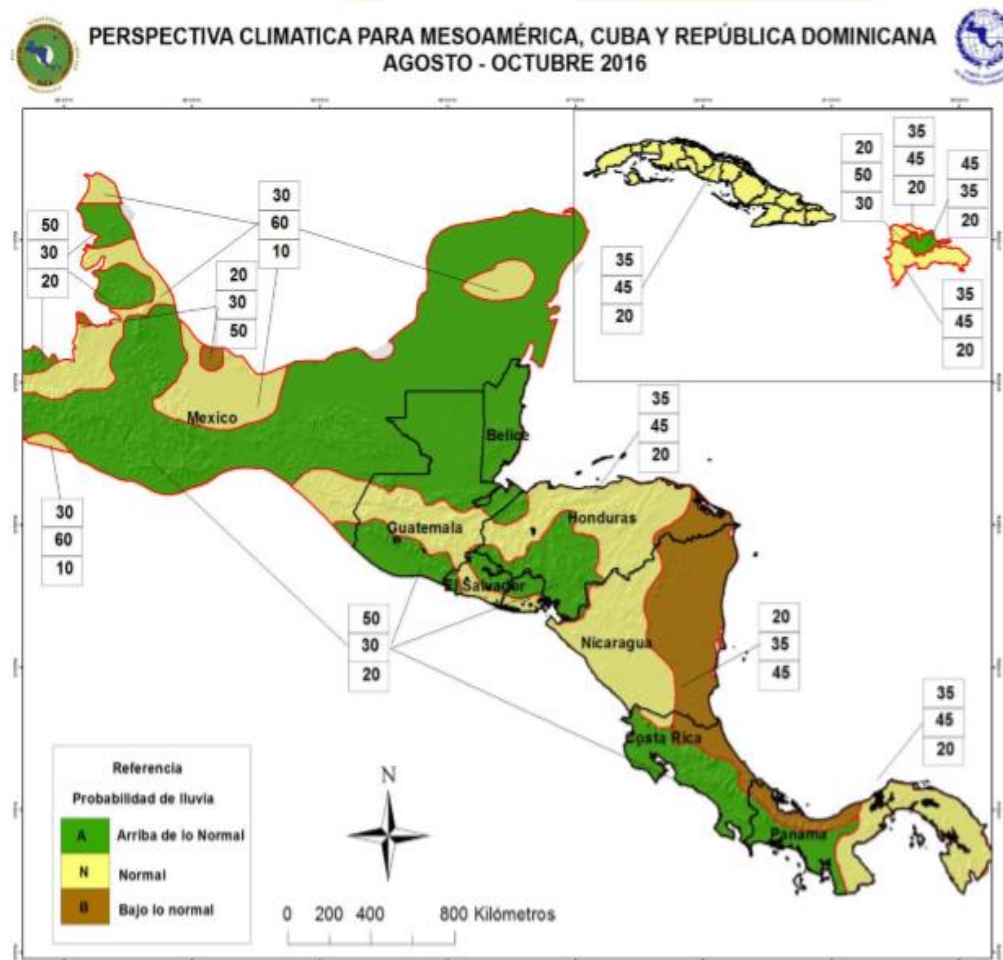


Figura 4. Mapa de perspectiva climática ASO. Fuente: L Foro del Clima de América Central V Foro del Clima de Mesoamérica 11 y 12 de julio del 2016 San José, Costa Rica

El mapa generado muestra en colores los escenarios del pronóstico de cantidades de lluvia bajo, normal y arriba de lo normal, basado en la climatología de cada lugar. Se puede observar en color verde los lugares en los cuales las cantidades de lluvia durante los meses de pronóstico estarán superando las normales climáticas de precipitación. Los valores son porcentajes de probabilidad de cada escenario.

En el caso de la región sur de Guatemala los pronósticos climáticos indican que la lluvia en el periodo de agosto a octubre, se presentará con cantidades arriba de lo normal. Avescinado una segunda parte de la época lluviosa muy copiosa. Así mimos aunque no se pronostica una cantidad significativa de ciclones tropicales en el océano atlántico, las condiciones que generan los sistemas de la época lluviosa como son; las bajas presiones, vaguadas y ondas del este, podrán generar tormentas locales severas, por lo que se deben tomar medidas para posibles inundaciones.

Notas explicativas

La información base para la elaboración del presente boletín es emitida por el Instituto Internacional de Investigación sobre el Clima y Sociedad (IRI, por sus siglas en inglés), y está basada en modelos dinámicos y estadísticos que estiman el comportamiento ENOS para valores de anomalía de la temperatura superficial del mar del Índice El Niño 3.4. Además se toma en cuenta la información de la Administración Nacional Oceánica y atmosférica (NOAA, por sus siglas en inglés), basada también en análisis climático.

La información presentada en el presente boletín se actualiza mensualmente a partir de observaciones hechas para tres meses, por lo tanto, pueden darse cambios en los valores de estimación de acuerdo a los valores observados.

Referencias

IRI. (2016). *iri.columbia*. Recuperado el 29 de 07 de 2016, de <http://iri.columbia.edu/our-expertise/climate/forecasts/enso/current/>

NOAA. (2016). *noaa*. Recuperado el 29 de 7 de 2016, de http://www.cpc.ncep.noaa.gov/products/analysis_monitoring/enso_advisory/